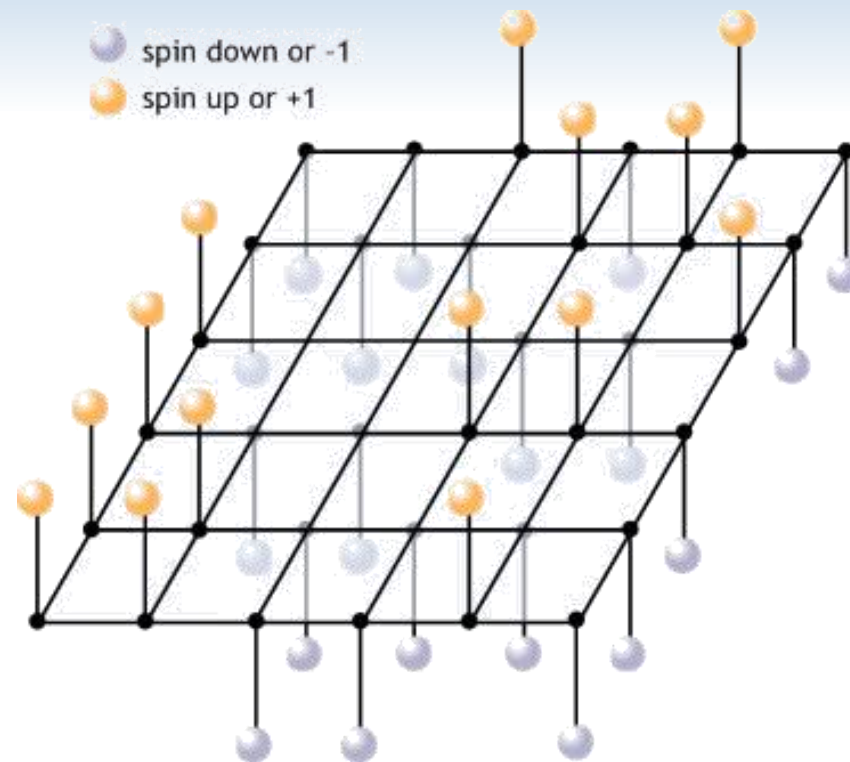


A solução de Onsager para o modelo de Ising em 2D: a complexidade do **Magnetismo Quântico**

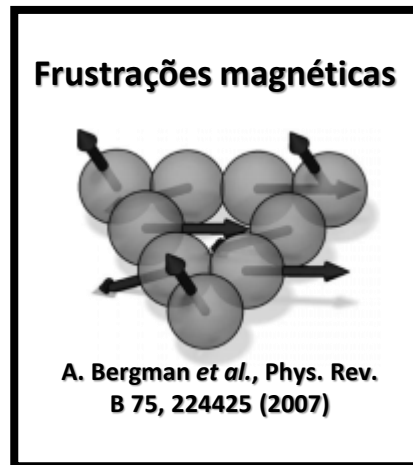




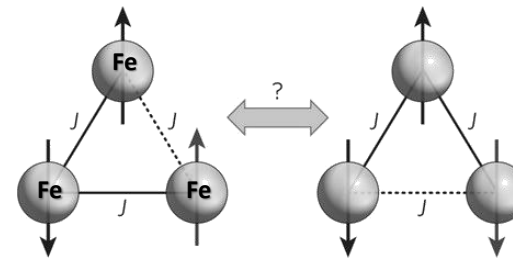
Nanomagnetismo



- ❑ Redução do tamanho → **efeitos quânticos individuais**
- ❑ Desenvolvimento de técnicas experimentais (**STM**) e teóricas (**DFT**)



$$\mathcal{H} = - \sum_{i,j} J_{ij} \mathbf{S}_i \cdot \mathbf{S}_j$$





Nanomagnetismo

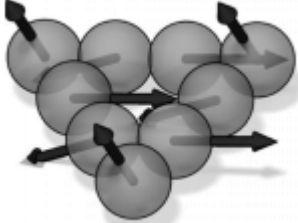


- Redução do tamanho → **efeitos quânticos individuais**

Energia de ponto zero > K
(flutuação dos momentos)

$$E_0 = \frac{1}{2} \hbar \omega = \frac{g \mu_B}{2M} \sqrt{-4K \cos(2\phi_0) [4J_1 \cos(2\theta_0) + 2J_2 \cos(\theta_0) + 4K \cos(2\theta_0) \cos^2(\phi_0)] - [4K \cos(\theta_0) \sin(2\phi_0)]^2}$$

Frustrações magnéticas

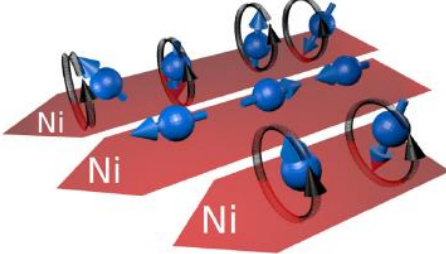


A. Bergman *et al.*, Phys. Rev. B 75, 224425 (2007)

Efeitos de paridade



S. Lounis *et al.*, Phys. Rev. Lett. 101, 107204 (2008)



S. Holzberger *et al.*, Phys. Rev. Lett. 110, 157206 (2013)

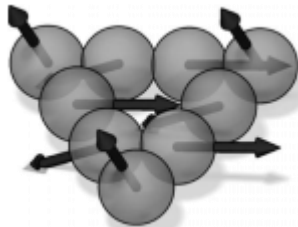


Nanomagnetismo



□ Redução do tamanho → **efeitos quânticos individuais**

Frustrações magnéticas



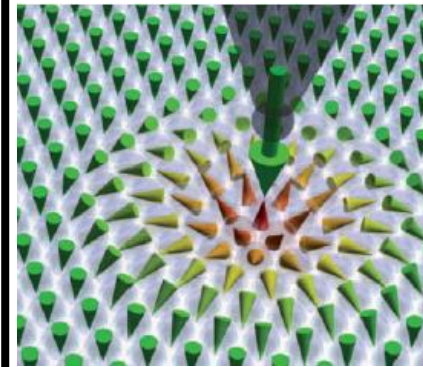
A. Bergman *et al.*, Phys. Rev. B 75, 224425 (2007)

Efeitos de paridade



S. Lounis *et al.*, Phys. Rev. Lett. 101, 107204 (2008)

Skyrmions



N. Romming *et al.*, Science 341, 636 (2013)

$$S = \frac{1}{4\pi} \oint_s \left(\frac{\partial \hat{n}}{\partial x} \times \frac{\partial \hat{n}}{\partial y} \right) \cdot \hat{n} dS \Rightarrow \begin{cases} S = 1 \Rightarrow \text{Skyrmion} \\ S = -1 \Rightarrow \text{Anti-Skyrmion} \\ S = 0 \Rightarrow \text{Estado trivial (FM)} \end{cases}$$

\hat{n} é o vetor normalizado de magnetização

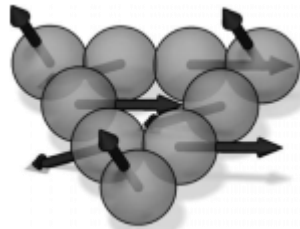


Nanomagnetismo



☐ Redução do tamanho → **efeitos quânticos individuais**

Frustrações magnéticas



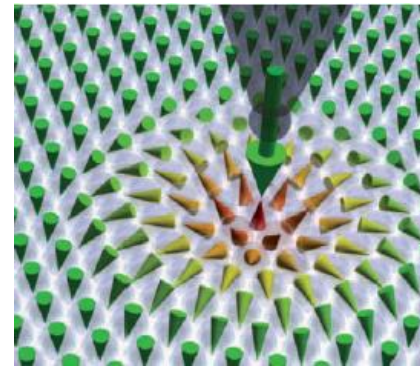
A. Bergman *et al.*, Phys. Rev. B 75, 224425 (2007)

Efeitos de paridade

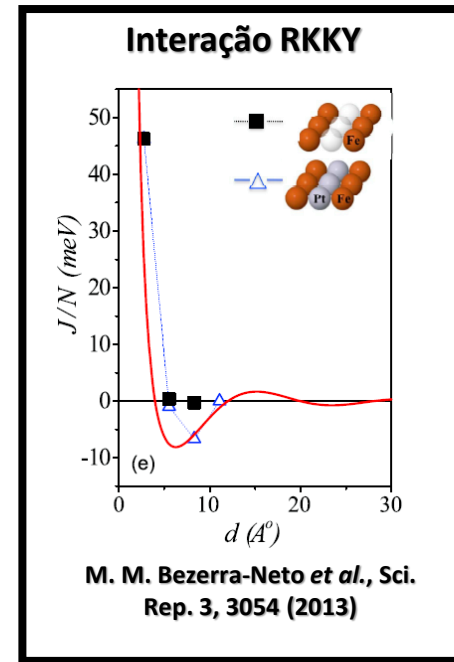


S. Lounis *et al.*, Phys. Rev. Lett. 101, 107204 (2008)

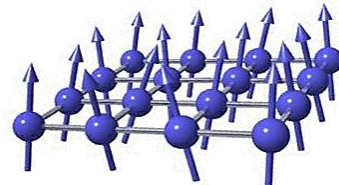
Skyrmions



N. Romming *et al.*, Science 341, 636 (2013)



Elétrons de condução (itinerantes) → ordem magnética de longo alcance (terras-raras)



$$H(\mathbf{R}_{ij}) = \frac{\vec{I}_i \cdot \vec{I}_j |\Delta k_m k_m|^2 m^*}{4 (2\pi)^3 R_{ij}^4 \hbar^2} [2k_m R_{ij} \cos(2k_m R_{ij}) - \sin(2k_m R_{ij})]$$

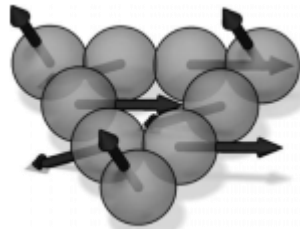


Nanomagnetismo



- Redução do tamanho → **efeitos quânticos individuais**

Frustrações magnéticas



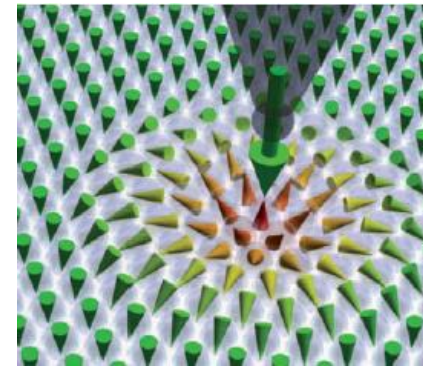
A. Bergman *et al.*, Phys. Rev. B 75, 224425 (2007)

Efeitos de paridade



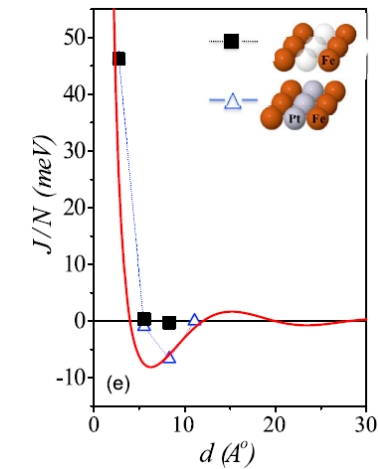
S. Lounis *et al.*, Phys. Rev. Lett. 101, 107204 (2008)

Skymions



N. Romming *et al.*, Science 341, 636 (2013)

Interação RKKY



M. M. Bezerra-Neto *et al.*, Sci. Rep. 3, 3054 (2013)

- Entendimento desses efeitos → **desenho racional de novos dispositivos**



A Interação de Troca



- ❑ Modelo fundamental para o **Magnetismo Quântico**.

$$E_{ex} = C - \frac{1}{2}J_{ex} - 2J_{ex}\vec{s}_a \cdot \vec{s}_b$$

$$J_{ex} = \int \Phi_a(\vec{r}_1)\Phi_b(\vec{r}_2) \left(\frac{1}{R_{ab}} + \frac{1}{r_{12}} - \frac{1}{r_{a1}} - \frac{1}{r_{b2}} \right) \Phi_b(\vec{r}_1)\Phi_a(\vec{r}_2) d^3r_1 d^3r_2$$

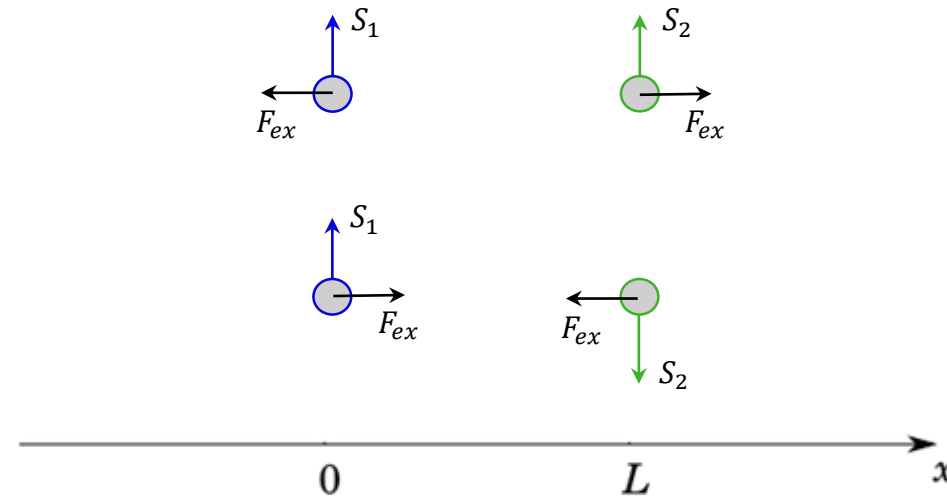
Partículas indistinguíveis (férmions) + interação de Coulomb: princípio de exclusão de Pauli



A Interação de Troca



- ❑ Modelo fundamental para o **Magnetismo Quântico**.



Partículas indistinguíveis (férmions) + interação de Coulomb: princípio de exclusão de Pauli

- ❑ **Generalização de Heisenberg** para um cristal (\mathbf{S}_i é o operador de *spin* no sítio i):

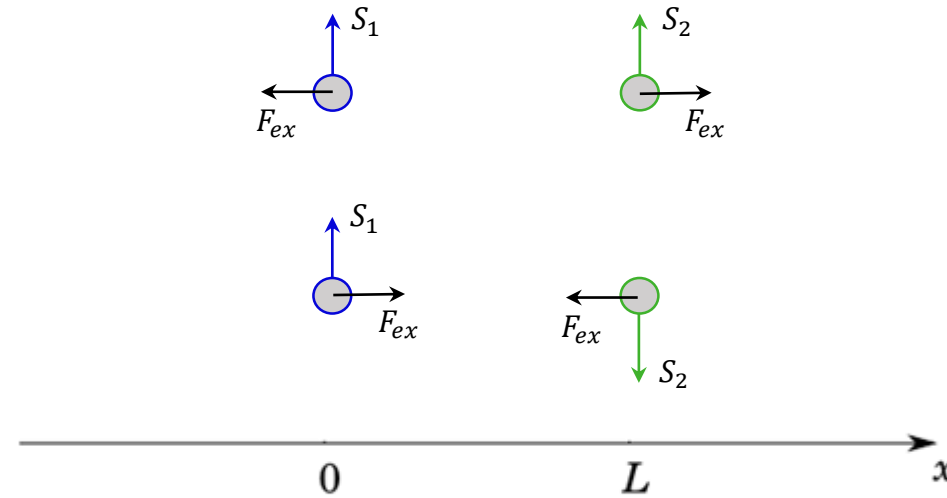
$$\mathcal{H} = -2 \sum_{i < j} J_{ij} \mathbf{S}_i \cdot \mathbf{S}_j = - \sum_{i,j} J_{ij} \mathbf{S}_i \cdot \mathbf{S}_j$$



A Interação de Troca



- Modelo fundamental para o **Magnetismo Quântico**.

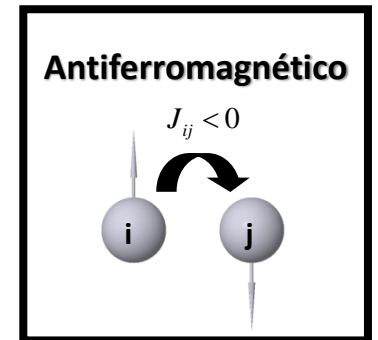


Partículas indistinguíveis (férmions) + interação de Coulomb: princípio de exclusão de Pauli

- Generalização de Heisenberg** para um cristal (\mathbf{S}_i é o operador de *spin* no sítio i):

$$\mathcal{H} = -2 \sum_{i < j} J_{ij} \mathbf{S}_i \cdot \mathbf{S}_j = - \sum_{i,j} J_{ij} \mathbf{S}_i \cdot \mathbf{S}_j$$

Menor energia

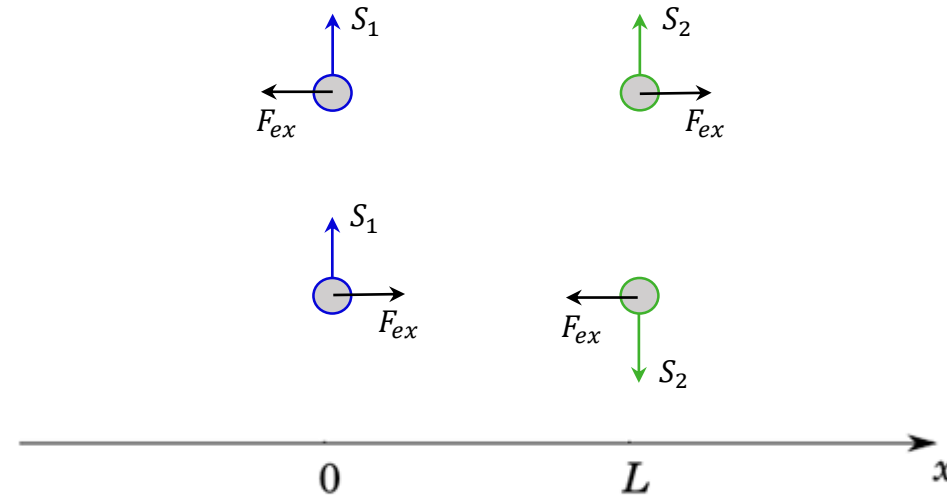




A Interação de Troca



- Modelo fundamental para o **Magnetismo Quântico**.

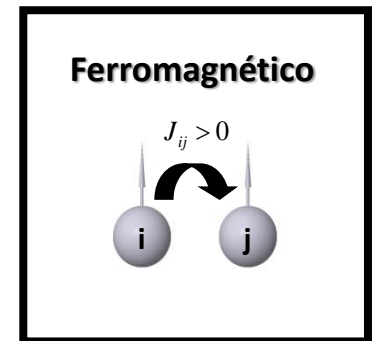


Partículas indistinguíveis (férmions) + interação de Coulomb: princípio de exclusão de Pauli

- Generalização de Heisenberg** para um cristal (\mathbf{S}_i é o operador de *spin* no sítio i):

$$\mathcal{H} = -2 \sum_{i < j} J_{ij} \mathbf{S}_i \cdot \mathbf{S}_j = - \sum_{i,j} J_{ij} \mathbf{S}_i \cdot \mathbf{S}_j$$

Menor energia →

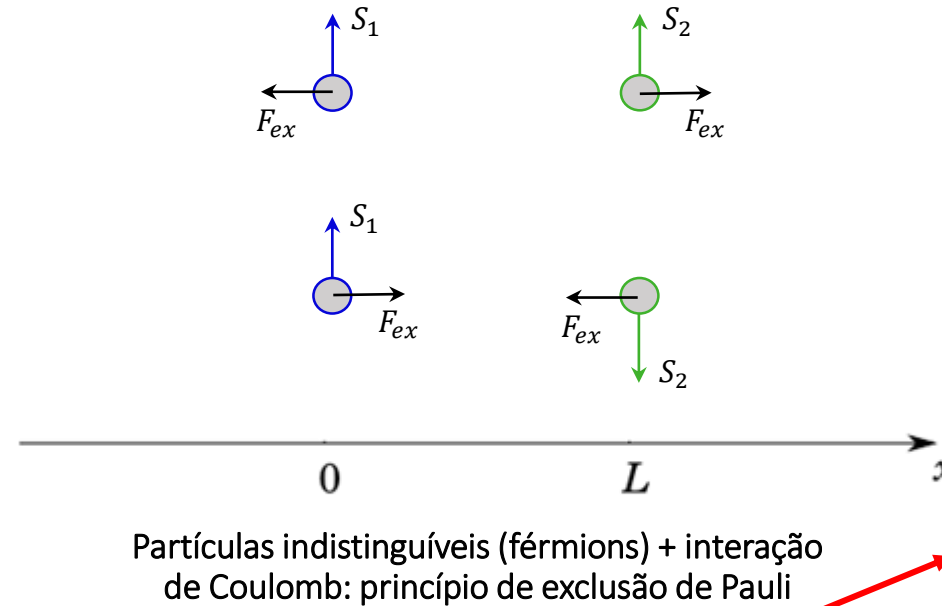




A Interação de Troca



- Modelo fundamental para o **Magnetismo Quântico**.



Para **duas** partículas: $\mathbf{S}_{tot} = \mathbf{S}_1 + \mathbf{S}_2$
(coeficientes de Clebsch-Gordan)

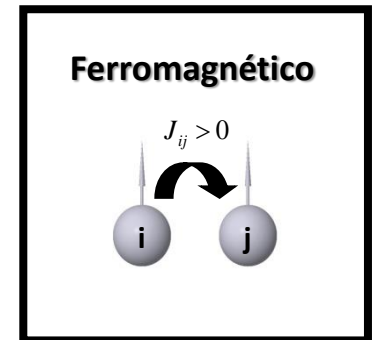
$$\mathbf{S}_1 \cdot \mathbf{S}_2 = \frac{1}{2} [S_{tot}(S_{tot} + 1) - 2S(S + 1)]$$

Para **mais** partículas: **solução complexa!**
 $[\mathbf{S}_1, \mathbf{S}_2] \neq 0$

- Generalização de Heisenberg** para um cristal (\mathbf{S}_i é o operador de *spin* no sítio *i*):

$$\mathcal{H} = -2 \sum_{i < j} J_{ij} \mathbf{S}_i \cdot \mathbf{S}_j = - \sum_{i,j} J_{ij} \mathbf{S}_i \cdot \mathbf{S}_j$$

Menor energia →





A Interação de Troca



- ❑ Modelo fundamental para o **Magnetismo Quântico**.

Competição entre a **temperatura** e a interação entre *spins*

Para **duas** partículas: $\mathbf{S}_{tot} = \mathbf{S}_1 + \mathbf{S}_2$
(coeficientes de Clebsch-Gordan)

$$\mathbf{S}_1 \cdot \mathbf{S}_2 = \frac{1}{2} [S_{tot}(S_{tot} + 1) - 2S(S + 1)]$$

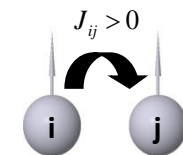
Para **mais** partículas: **solução complexa!**
 $[\mathbf{S}_1, \mathbf{S}_2] \neq 0$

- ❑ **Generalização de Heisenberg** para um cristal (\mathbf{S}_i é o operador de *spin* no sítio i):

$$\mathcal{H} = -2 \sum_{i < j} J_{ij} \mathbf{S}_i \cdot \mathbf{S}_j = - \sum_{i,j} J_{ij} \mathbf{S}_i \cdot \mathbf{S}_j$$

Menor energia →

Ferromagnético





A Interação de Troca

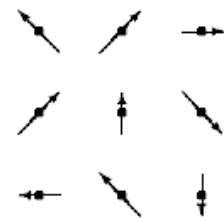


- Primeira aproximação: **interações de curto alcance:** $J_{ij} = \begin{cases} J_0, & \text{se } i \text{ e } j \text{ são vizinhos} \\ 0, & \text{caso contrário} \end{cases}$

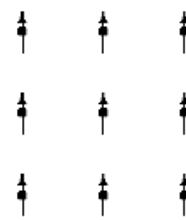
$$\mathbf{S}_i \cdot \mathbf{S}_j = \mathbf{S}_i \cdot \mathbf{S}_{i+1} = S_i^x S_{i+1}^x + S_i^y S_{i+1}^y + S_i^z S_{i+1}^z$$

- Segunda aproximação: **campo médio.** $m = 2 \sum_j J_{ij} \langle S_z \rangle \hat{\mathbf{k}} = 2nJ_0 \langle S_z \rangle \hat{\mathbf{k}}$ **Magnetização espontânea:** $M(T) \propto (T - T_C)^b$
 Assumindo o eixo z como direção de magnetização $\mathcal{H} = -2 \sum_i \mathbf{m} \cdot \mathbf{S}_i + Nm \langle S_z \rangle$ **Campo médio:** $b = \frac{1}{2}$

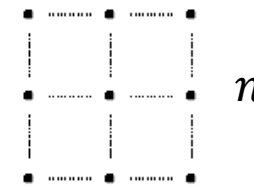
$$\beta = \frac{1}{k_B T} \quad S = \frac{1}{2} \Rightarrow Z = (e^{\beta m} + e^{-\beta m})^N e^{\beta N m \langle S_z \rangle} = \boxed{[(e^{\beta m} + e^{-\beta m}) e^{\beta m^2 / 2nJ_0}]^N}$$



Desordenado



Ordenado



Interação entre NN

- Hamiltoniano de Ising: **sistema com spins em uma direção em particular.** $\mathcal{H} = -2J_0 \sum_i S_i^z S_{i+1}^z$



A Interação de Troca



- Primeira aproximação: **interações de curto alcance**: $J_{ij} = \begin{cases} J_0, & \text{se } i \text{ e } j \text{ são vizinhos} \\ 0, & \text{caso contrário} \end{cases}$

$$\mathbf{S}_i \cdot \mathbf{S}_j = \mathbf{S}_i \cdot \mathbf{S}_{i+1} = S_i^x S_{i+1}^x + S_i^y S_{i+1}^y + S_i^z S_{i+1}^z$$

- Segunda aproximação: **campo médio**. $\mathbf{m} = 2 \sum_j J_{ij} \langle S_z \rangle \hat{\mathbf{k}} = 2nJ_0 \langle S_z \rangle \hat{\mathbf{k}}$
Assumindo o eixo z como direção de magnetização
 $\mathcal{H} = -2 \sum_i \mathbf{m} \cdot \mathbf{S}_i + Nm \langle S_z \rangle$

- Modelo **bidimensional** de Ising

PHYSICAL REVIEW VOLUME 65, NUMBERS 3 AND 4 FEBRUARY 1 AND 15, 1944

Crystal Statistics. I. A Two-Dimensional Model with an Order-Disorder Transition

LARS ONSAGER

Sterling Chemistry Laboratory, Yale University, New Haven, Connecticut

(Received October 4, 1943)

- Hamiltoniano de Ising: **sistema com spins em uma direção em particular**. $\mathcal{H} = -2J_0 \sum_i S_i^z S_{i+1}^z$



Dzyaloshinskii-Moriya e Correções

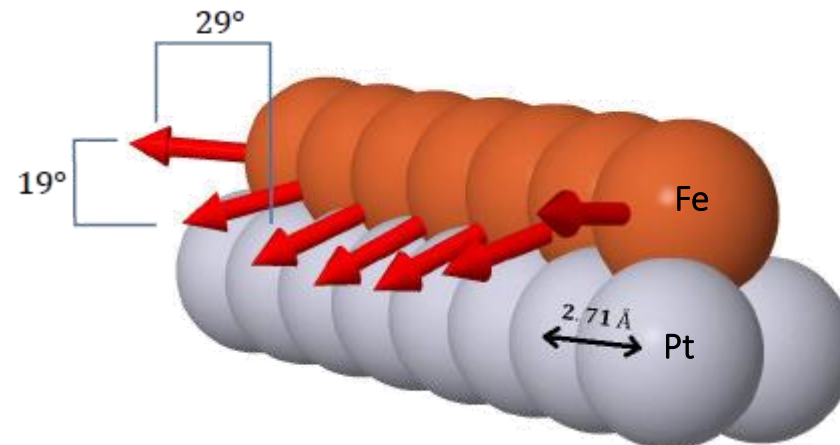


- ❑ Modelo **fenomenológico** baseado na Teoria de Landau (interação antissimétrica).

$$\mathcal{H}_{DM} = \sum_{i,j} \vec{D}_{ij} \cdot \mathbf{S}_i \times \mathbf{S}_j$$

Correção possível ao modelo de Heisenberg

- ❑ Manifestação do acoplamento **spin-órbita** ($\lambda \mathbf{S} \cdot \mathbf{L}$).





Dzyaloshinskii-Moriya e Correções

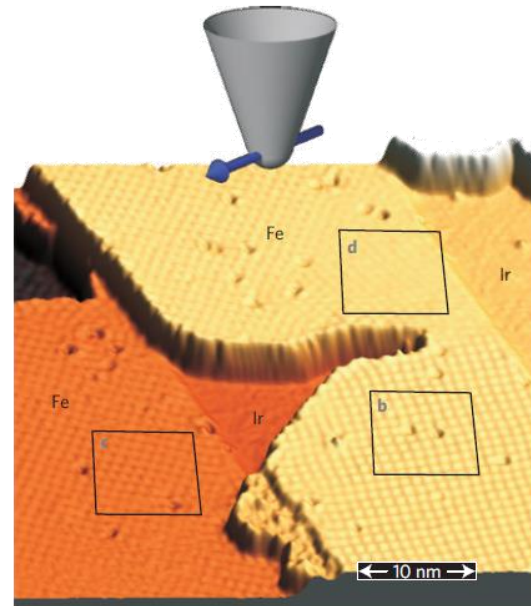
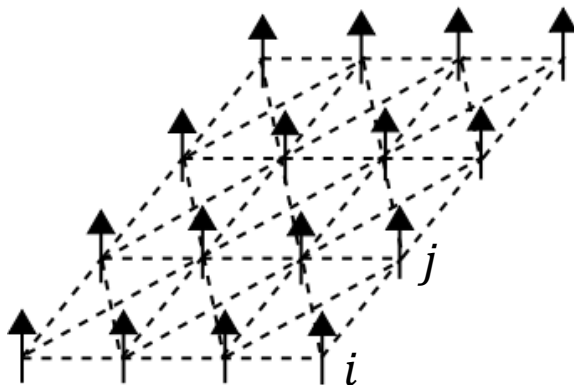


Outras correções (**4-spin**: A. H. MacDonald *et al.*, Phys. Rev. B **37**, 9753 (1988)):

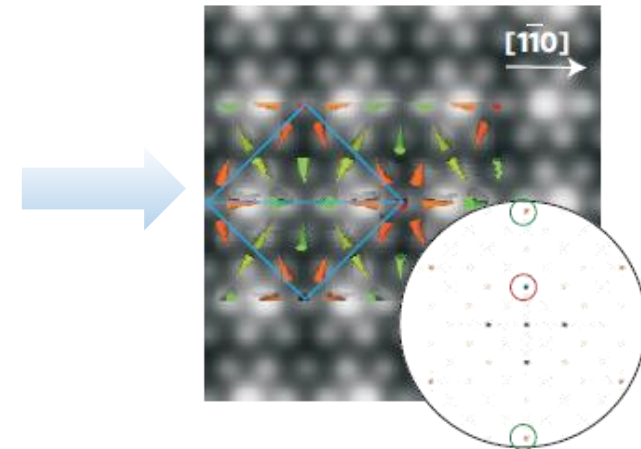
$$H = -t \sum_{j\delta}^{TB} c_{j+\delta}^\dagger c_j$$

$$\mathcal{H}_{4S} = \sum_{i,j,k,l} K_{ijkl} [(\mathbf{S}_i \cdot \mathbf{S}_j)(\mathbf{S}_k \cdot \mathbf{S}_l) + (\mathbf{S}_i \cdot \mathbf{S}_l)(\mathbf{S}_j \cdot \mathbf{S}_k) - (\mathbf{S}_i \cdot \mathbf{S}_k)(\mathbf{S}_j \cdot \mathbf{S}_l)]$$

Consequência da possibilidade de *Hopping* eletrônico nos 4 sítios adjacentes (extensão do mod. Hubbard)



Estrutura espontânea de *spins* → Fe/Ir(111)



S. Heinze *et al.*, Nature Phys. 7, 713 (2011)



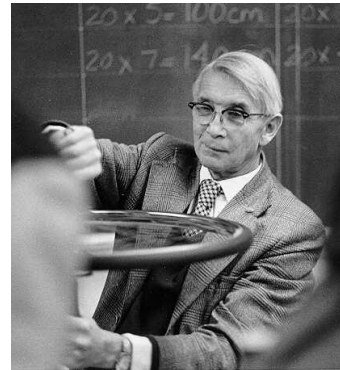
Modelo de Ising



- $dd=1$ e $dd=2$).
- Um dos **únicos** modelos “realistas” de muitos corpos rigorosamente resolvidos (= **1 e d = 2**).



Wilhelm Lenz



Ernst Ising



Modelo de Ising

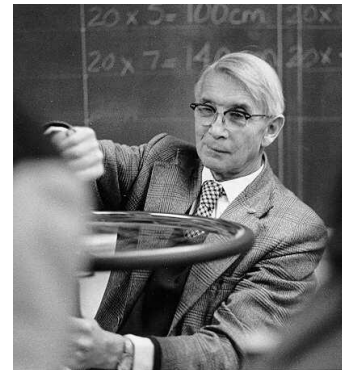


- Um dos **únicos** modelos “realistas” de muitos corpos rigorosamente resolvidos ($d = 1$ e $d = 2$).

~ 1920



Wilhelm Lenz



Ernst Ising

Grandezas
escalares

Aplicações: modelo “clássico”

- Modelo para isolantes magnéticos;
- Toy-model* para Mecânica Estatística;
- Modelo para ligas binárias:
 $S = +1$ (Átomo **A**) \leftrightarrow $S = -1$ (Átomo **B**)
- Modelo para materiais ferroelétricos;
- Modelo para sistemas biológicos.

Heisenberg “simplificado”

Assumindo o eixo z
como direção de
magnetização

$$\mathcal{H} = - \sum_{i,j} J_{ij} S_i^z S_j^z - \mu_B B_0 \sum_i S_i^z \quad S_i^z = \pm 1, \text{ para } i = 1, 2, \dots, N$$

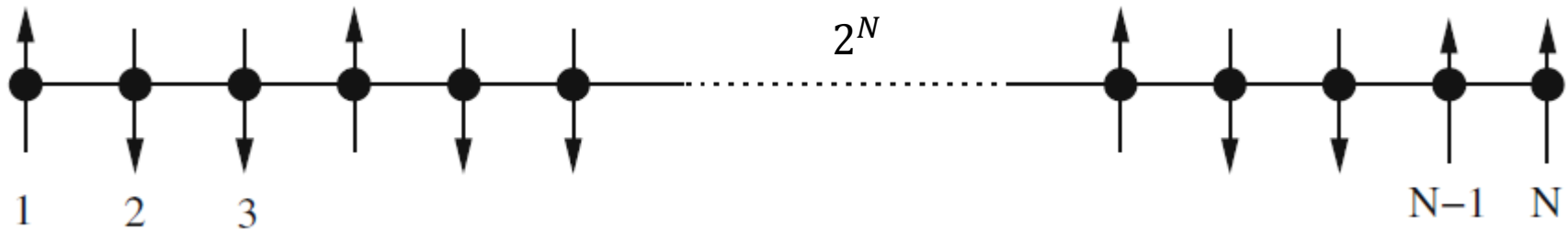
Interação com B_0 (se $B_0 \neq 0$)



Modelo de Ising 1D



- Cadeia linear com N spins ($B_0 = 0$): $J_{ij} = \begin{cases} J_i, \text{ se } j = (i \pm 1) \\ 0, \text{ caso contrário} \end{cases}$ $T_c? \Rightarrow M$ (espontânea)



$$j_i = \frac{J_i}{k_B T} = \beta J_i \quad S_i = \pm 1, \text{ para } i = 1, 2, \dots, N$$

- Função de partição canônica (Z_N):

$$Z_N = Z_N(j_1, j_2, \dots, j_{N-1}) = \sum_{S_1}^{\pm 1} \sum_{S_2}^{\pm 1} \cdots \sum_{S_N}^{\pm 1} \exp \left(\sum_{i=1}^{N-1} j_i S_i S_{i+1} \right)$$

^aW. Nolting and A. Ramakanth, Quantum Theory of Magnetism, Springer, 2009



Modelo de Ising 1D



□ Para obter uma relação de **recursão**, basta calcular o mesmo para uma cadeia com 1 *spin* a mais:

$$Z_{N+1} = \sum_{S_1}^{\pm 1} \sum_{S_2}^{\pm 1} \cdots \sum_{S_N}^{\pm 1} \exp \left(\sum_{i=1}^{N-1} j_i S_i S_{i+1} \right) \sum_{S_{N+1}}^{\pm 1} \exp(j_N S_N S_{N+1})$$

□ Mas, como $\sum_{S_{N+1}}^{\pm 1} \exp(j_N S_N S_{N+1}) = [\exp(j_N S_N) + \exp(-j_N S_N)] = 2 \cosh(j_N S_N) = 2 \cosh(j_N)$:

$$Z_{N+1} = 2 Z_N \cosh(j_N)$$

□ Em termos da função de partição de uma só partícula:



$$\Rightarrow Z_{N+1} = Z_1 2^N \prod_{i=1}^N \cosh(j_i)$$



Modelo de Ising 1D



□ Para obter uma relação de **recursão**, basta calcular o mesmo para uma cadeia com 1 *spin* a mais:

$$Z_{N+1} = \sum_{S_1}^{\pm 1} \sum_{S_2}^{\pm 1} \cdots \sum_{S_N}^{\pm 1} \exp\left(\sum_{i=1}^{N-1} j_i S_i S_{i+1}\right) \sum_{S_{N+1}}^{\pm 1} \exp(j_N S_N S_{N+1})$$

□ Mas, como $\sum_{S_{N+1}}^{\pm 1} \exp(j_N S_N S_{N+1}) = [\exp(j_N S_N) + \exp(-j_N S_N)] = 2 \cosh(j_N S_N) = 2 \cosh(j_N)$:

$$Z_{N+1} = 2 Z_N \cosh(j_N)$$

Sem interações $Z_1 = \sum_{S_1}^{\pm 1} e^0 = 2$ \leftarrow  $\Rightarrow Z_{N+1} = Z_1 2^N \prod_{i=1}^N \cosh(j_i)$



Modelo de Ising 1D



□ Finalmente:

$$Z_N(T) = 2^N \prod_{i=1}^{N-1} \cosh \left(\frac{J_i}{k_B T} \right)$$

□ E, assumindo $J_i = J$ (interação **isotrópica**): $Z_N(T) = 2^N \cosh^{N-1}(\beta J)$

□ Assim, derivamos a função de **correlação de spin**:

$$\langle S_i S_{i+j} \rangle = \frac{1}{Z_N} \sum_{\{S\}} S_i S_{i+j} \exp \left(\sum_{k=1}^{N-1} J_k S_k S_{k+1} \right)$$

□ Partindo da primeira **expressão** para Z_N : $Z_N = Z_N(j_1, j_2, \dots, j_{N-1}) = \sum_{S_1}^{\pm 1} \sum_{S_2}^{\pm 1} \cdots \sum_{S_N}^{\pm 1} \exp \left(\sum_{i=1}^{N-1} J_i S_i S_{i+1} \right)$



Modelo de Ising 1D



$$\begin{aligned} & \frac{\partial}{\partial j_i} \frac{\partial}{\partial j_{i+1}} \cdots \frac{\partial}{\partial j_{i+j-1}} Z_N \\ &= \sum_{\{S\}} (S_i \underbrace{S_{i+1}}_{+1}) (\underbrace{S_{i+1} S_{i+2}}_{+1}) \cdots (\underbrace{S_{i+j-1} S_{i+j}}_{+1}) * \exp \left(\sum_{k=1}^{N-1} j_k S_k S_{k+1} \right) \\ &= \sum_{\{S\}} (S_i S_{i+j}) \exp \left(\sum_{k=1}^{N-1} j_k S_k S_{k+1} \right) \\ &= Z_N \langle S_i S_{i+j} \rangle \end{aligned}$$

□ Partindo da primeira **expressão** para Z_N : $Z_N = Z_N(j_1, j_2, \dots, j_{N-1}) = \sum_{S_1}^{\pm 1} \sum_{S_2}^{\pm 1} \cdots \sum_{S_N}^{\pm 1} \exp \left(\sum_{i=1}^{N-1} j_i S_i S_{i+1} \right)$



Modelo de Ising 1D



Assim, usando o **fato** que:

$$\left\{ \begin{array}{l} \frac{\partial}{\partial j_i} \frac{\partial}{\partial j_{i+1}} \cdots \frac{\partial}{\partial j_{i+j-1}} Z_N = Z_N \langle S_i S_{i+j} \rangle \\ Z_N(T) = 2^N \prod_{i=1}^{N-1} \cosh\left(\frac{J_i}{k_B T}\right) \end{array} \right.$$

Chegamos em:

$$\langle S_i S_{i+j} \rangle = \frac{2^N \cosh(j_1) \cdots \cosh(j_{i-1}) \sinh(j_i) \cdots \sinh(j_{i+j-1}) \cdots \cosh(j_{N-1})}{2^N \cosh(j_1) \cdots \cosh(j_{N-1})}$$

↓

$J_i = J$ (isotrópico)

$$\langle S_i S_{i+j} \rangle = \prod_{r=1}^j \tanh(\beta J_{i+r-1}) \Rightarrow \boxed{\langle S_i S_{i+j} \rangle = \tanh^j(\beta J)}$$

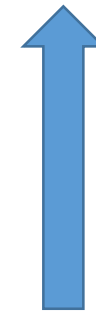


Modelo de Ising 1D



$$M_s^2(T) = \mu_B^2 \langle S \rangle^2 = \mu_B^2 \lim_{j \rightarrow \infty} \langle S_i S_{i+j} \rangle$$

$$M_s(T) = \mu_B \begin{cases} 0 & \text{if } T \neq 0 \\ 1 & \text{if } T = 0 \end{cases}$$



$J_i = J$ (isotrópico)

$$\langle S_i S_{i+j} \rangle = \prod_{r=1}^j \tanh(\beta J_{i+r-1}) \Rightarrow \boxed{\langle S_i S_{i+j} \rangle = \tanh^j(\beta J)}$$



Modelo de Ising 1D



O modelo de Ising unidimensional *não* apresenta transição de fase à temperatura finita (magnetização espontânea em $T < T_c$)

$$M_s^2(T) = \mu_B^2 \langle S \rangle^2 = \mu_B^2 \lim_{j \rightarrow \infty} \langle S_i S_{i+j} \rangle$$

$$M_s(T) = \mu_B \begin{cases} 0 & \text{if } T \neq 0 \\ 1 & \text{if } T = 0 \end{cases}$$



$J_i = J$ (isotrópico)

$$\langle S_i S_{i+j} \rangle = \prod_{r=1}^j \tanh(\beta J_{i+r-1}) \Rightarrow \langle S_i S_{i+j} \rangle = \tanh^j(\beta J)$$



Modelo de Ising 1D



O modelo de Ising unidimensional *não* apresenta transição de fase à temperatura finita (magnetização espontânea em $T < T_c$)



$$M_s^2(T) = \mu_B^2 \langle S \rangle^2 = \mu_B^2 \lim_{j \rightarrow \infty} \langle S_i S_{i+j} \rangle$$

$$M_s(T) = \mu_B \begin{cases} 0 & \text{if } T \neq 0 \\ 1 & \text{if } T = 0 \end{cases}$$

$J_i = J$ (isotrópico)

$$\langle S_i S_{i+j} \rangle = \tanh^j(\beta J)$$



Modelo de Ising 1D



O modelo de Ising unidimensional *não* apresenta transição de fase à temperatura finita (magnetização espontânea em $T < T_c$)

+

E. Ising *não* conseguiu resolver o modelo para *duas e três* dimensões



Wilhelm Lenz



#CHATEADO

$$M_s^2(T) = \mu_B^2 \langle S \rangle^2 = \mu_B^2 \lim_{j \rightarrow \infty} \langle S_i S_{i+j} \rangle$$

$$M_s(T) = \mu_B \begin{cases} 0 & \text{if } T \neq 0 \\ 1 & \text{if } T = 0 \end{cases}$$



$J_i = J$ (isotrópico)

$$\langle S_i S_{i+j} \rangle = \tanh^j(\beta J)$$

❑ Outra solução analítica possível (1D): $B_0 \neq 0$



Modelo de Ising 2D



Lars Onsager

- ❑ **Antes** da prova exata (**em 1944 por Lars Onsager**), Peierls^a demonstrou a existência de uma transição de fase ferromagnética (FM) \Leftrightarrow paramagnética a uma temperatura finita ($T_c > 0$) para o modelo de Ising bidimensional;
- ❑ Assim, iniciamos com uma Hamiltoniana de Ising válida para interações entre primeiros vizinhos e sem campo magnético externo ($B_0 = 0$) \rightarrow **isotrópico** ($J_{ij} = J$):

$$\mathcal{H}(S) = -J \sum_{(i,j)} S_i^z S_j^z \Rightarrow S_i^z = \pm 1, \text{ para } i = 1, 2, \dots, N$$

(i,j) \rightarrow Pares próximos

- ❑ Analogamente ao modelo 1D:

$$Z_N(T) = \sum_{\{S\}} \exp(-\beta H(S))$$



1968 (Química)

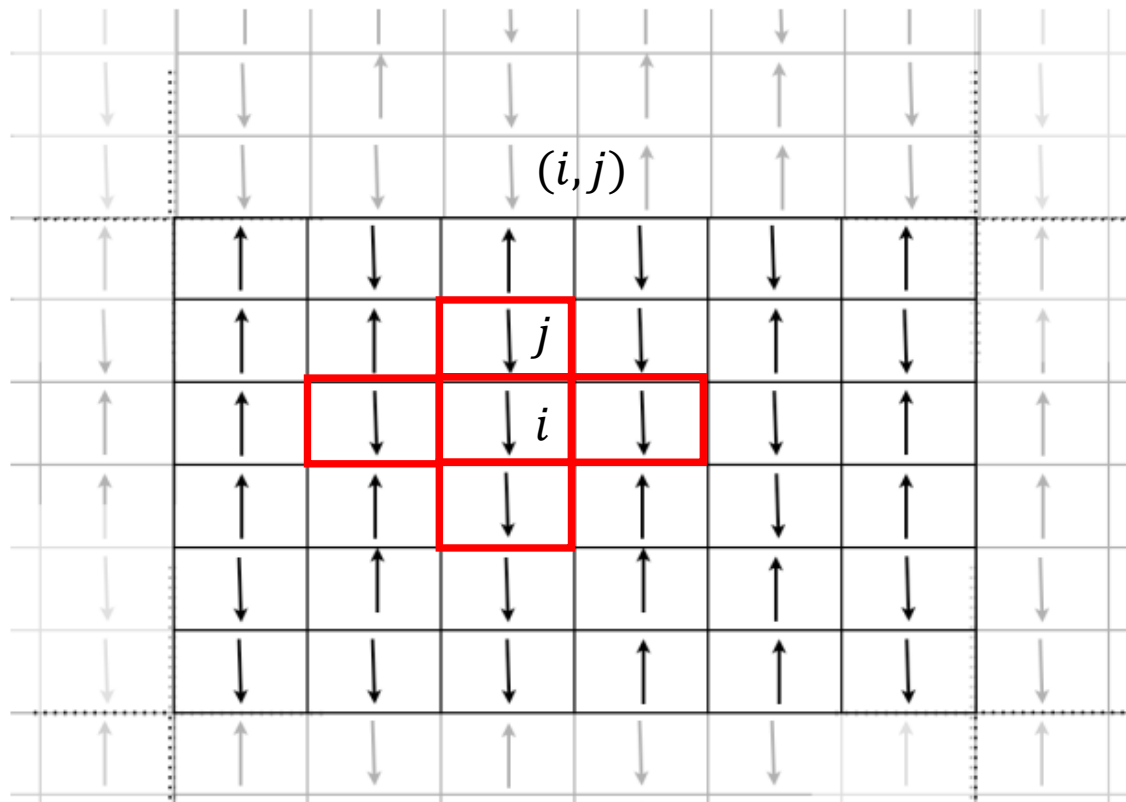
^aR. Peierls, Proc. Camb. Phil. Soc. 32, 477 (1936)



Modelo de Ising 2D



- Rede de spins finita (suficientemente grande):



$T_c? \Rightarrow M$ (espontânea)

- Para encontrar a transição de fase:

$$f(T) = \lim_{N \rightarrow \infty} \left[-\frac{k_B T}{N} \ln Z_N(T) \right]$$

- A “assinatura” de uma transição de fase deve ocorrer como uma **irregularidade** da energia livre f .

- Uma vez que $S_i = \pm 1$ ($v = \tanh(\beta J)$):

$$\exp(\beta J S_i S_j) = \cosh(\beta J)(1 + v(S_i S_j))$$



Modelo de Ising 2D



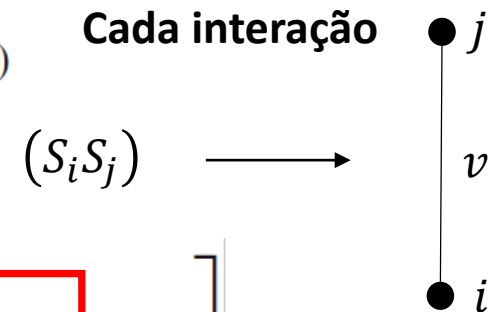
- ❑ Como vamos tomar o **limite termodinâmico**, desconsideramos efeitos de superfície:
 - ❑ Existem $4N$ pares de vizinhos mais próximos, sendo que, por semelhança, restam $2N$ pares distintos. Assim, pela expressão de $Z_N(T)$:

$$Z_N(T) = \sum_{\{S\}} \exp \left(\beta J \sum_{(i,j)} S_i S_j \right)$$

$$= \cosh^{2N}(\beta J) \sum_{\{S\}} (1 + v S_{i_1} S_{j_1}) \cdots (1 + v S_{i_{2N}} S_{j_{2N}})$$

Ou, rearranjando os termos:

$$Z_N(T) = \cosh^{2N}(\beta J) \sum_{\{S\}} \left[1 + v \sum_{v=1}^{2N} S_{i_v} S_{j_v} + \underbrace{v^2 \sum_{\substack{v,\mu=1 \\ v \neq \mu}}^{2N}}_{\text{"Spin products"}} (S_{i_v} S_{j_v})(S_{i_\mu} S_{j_\mu}) + \cdots \right]$$

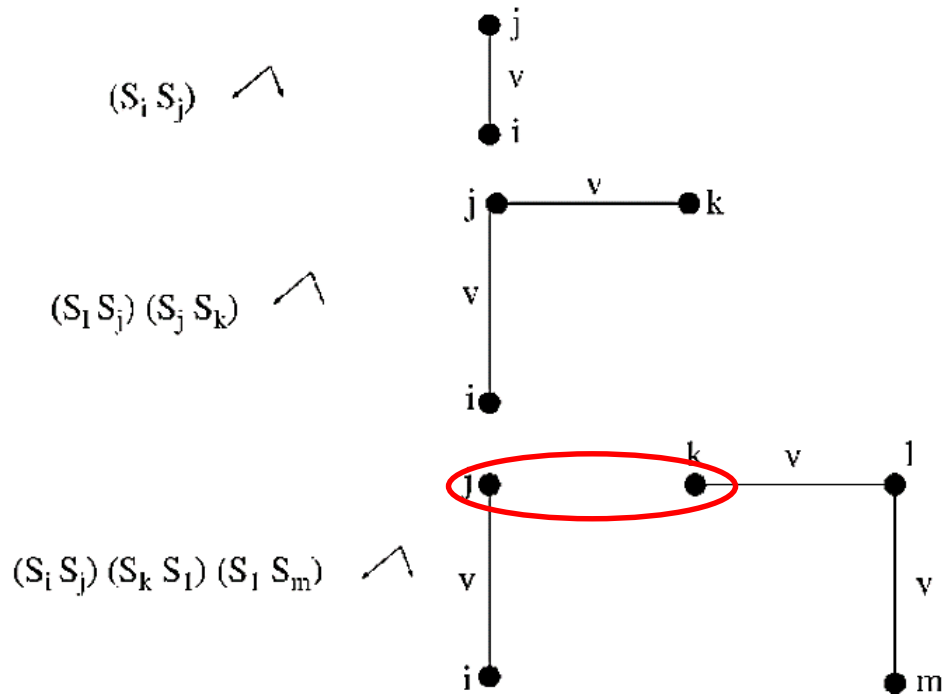




Modelo de Ising 2D



□ Alguns exemplos:



Portanto, como há apenas interação entre primeiros vizinhos:

$$J_{ij} = \begin{cases} J, & \text{se primeiros vizinhos} \\ 0, & \text{caso contrário} \end{cases}$$

Então:

$$\sum_{\{S\}} (S_{i\alpha} S_{j\alpha}) \dots (S_{i\rho} S_{j\rho}) = \begin{cases} 2^N, & \text{para todos vértices ordem par} \\ 0, & \text{caso contrário} \end{cases}$$

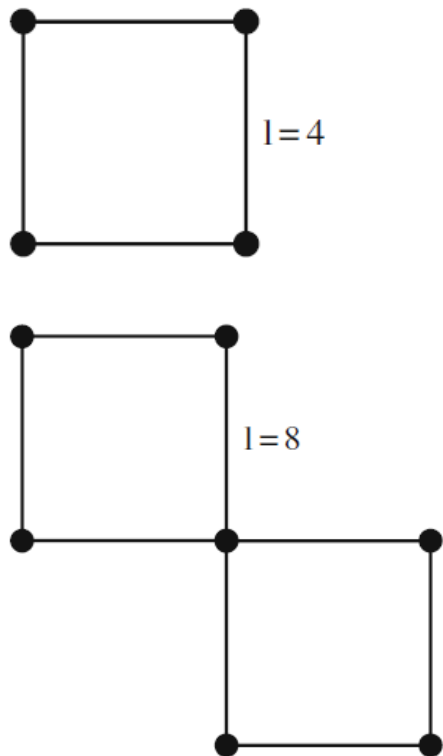
W. Nolting and A. Ramakanth, Quantum Theory of Magnetism, Springer, 2009



Modelo de Ising 2D



□ Alguns exemplos:



Portanto, como há apenas interação entre primeiros vizinhos:

$$J_{ij} = \begin{cases} J, & \text{se primeiros vizinhos} \\ 0, & \text{caso contrário} \end{cases}$$

Então:

$$\sum_{\{S\}} (S_{i\alpha} S_{j\alpha}) \dots (S_{i\rho} S_{j\rho}) = \begin{cases} 2^N, & \text{para todos v\u00e9rtices ordem } \text{par} \\ 0, & \text{caso contrário} \end{cases}$$



Modelo de Ising 2D

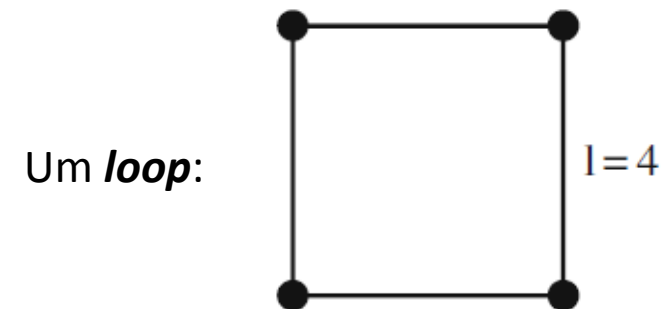
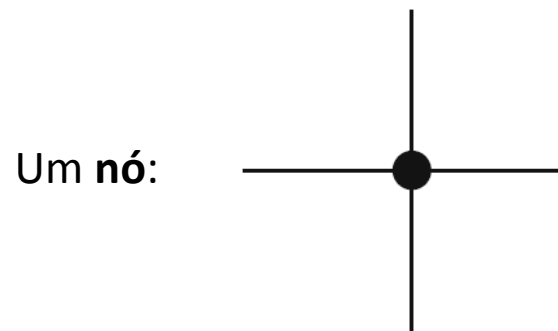


- Logo, usando a **função** $Z_N(T)$:

$$Z_N(T) = \cosh^{2N}(\beta J) 2^N \sum_{l=0}^{\infty} g_l v^l$$

Onde l é o número de **linhas** nos gráficos com vértices pares, e g_l é o número de **gráficos** deste tipo ($g_0 \equiv 1$).

- Assim, nos resta determinar a quantidade de **loops** (g_l):

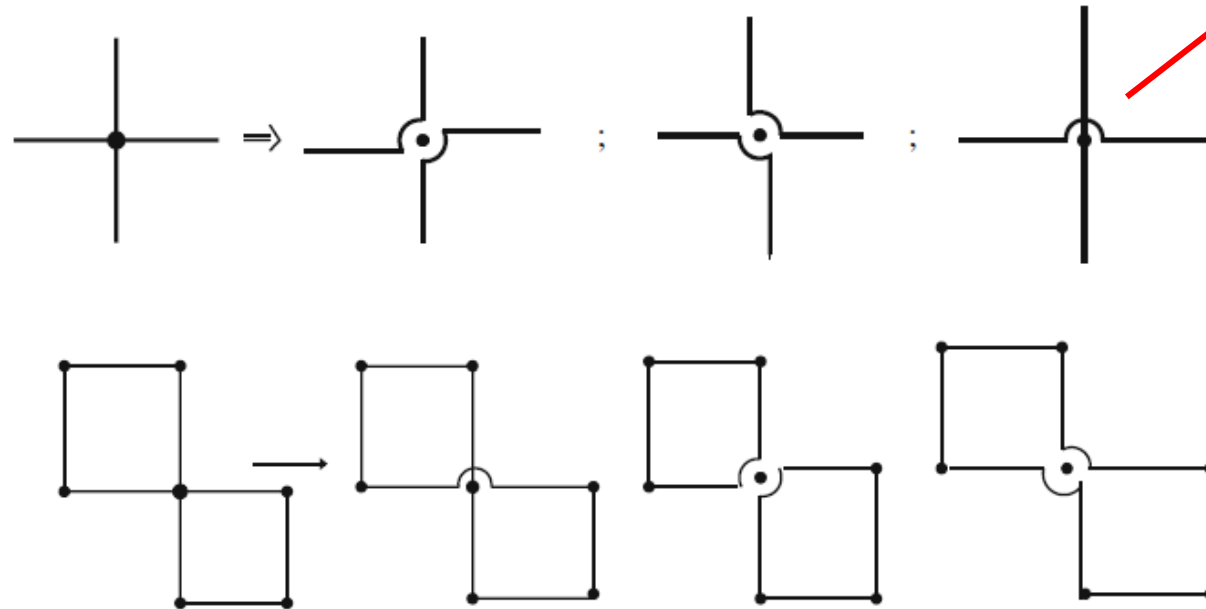




Modelo de Ising 2D



❑ Método para *dissolver* estes nós:



Self-intersection (SI)

Fator peso η :

$$\eta(loop) = (-1)^{SI}$$

$$\eta(família) = \prod \eta(loop)$$

$$\eta(família) = (-1)^{SI \text{ na família}}$$

Gera 3^k famílias de loops para k nós \Rightarrow implica na quantidade g_l



Modelo de Ising 2D



- É possível mostrar que:

g_l é a soma dos **pesos** de todas as famílias de *loops* de um total de l linhas

- Assim, introduzindo uma **nova** quantidade:

$D_l \equiv$ Soma dos pesos de todos os loops com l linhas



$$g_0 = 1$$
$$g_l = \sum_{n=1}^{\infty} \frac{1}{n!} \sum_{\substack{l_1, \dots, l_n \\ \sum l_i = l}} D_{l_1} D_{l_2} \cdots D_{l_n} \quad (l \neq 0)$$

Correção para que não sejam contadas **várias** vezes



Modelo de Ising 2D



□ E, portanto:

$$g_l v^l = \sum_{n=1}^{\infty} \frac{1}{n!} \sum_{\substack{l_1, \dots, l_n \\ \sum l_i = l}} (D_{l_1} v^{l_1}) \cdots (D_{l_n} v^{l_n}) \quad (l \neq 0)$$



$$\sum_{l=0}^{\infty} g_l v^l = 1 + \sum_{n=1}^{\infty} \frac{1}{n!} \left\{ \sum_{m=1}^{\infty} D_m v^m \right\}^n = \exp \left\{ \sum_{m=1}^{\infty} D_m v^m \right\}$$

(pois temos que somar de $l = 0$ a $l = \infty$)

Neste caso, o vínculo $\sum l_i = l$ não faz mais sentido.



Modelo de Ising 2D

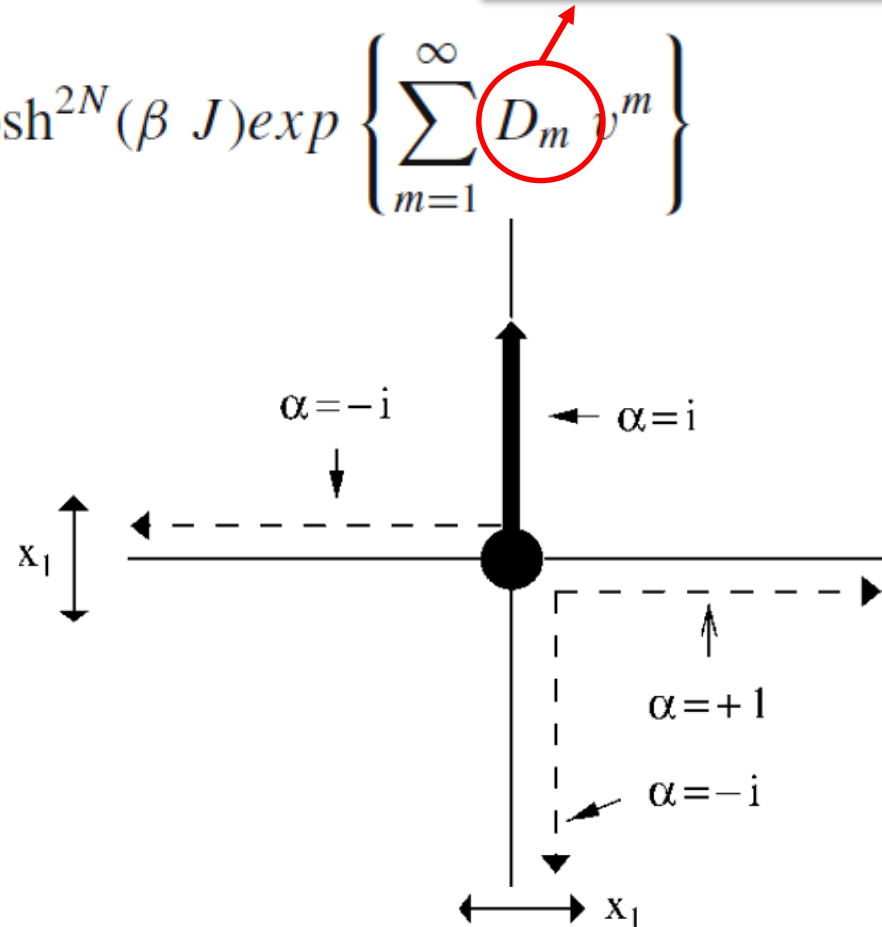


□ Deste resultado, a **função de partição canônica** torna-se:

Contar quantos **SI** existem em um *loop*

$$Z_N(T) = 2^N \cosh^{2N}(\beta J) \exp \left\{ \sum_{m=1}^{\infty} D_m v^m \right\}$$

□ Então, introduzindo um *step* $P = (z, \alpha)$ (imaginando a rede de Ising no **plano complexo**):





Modelo de Ising 2D



❑ Chega-se na **energia livre** por *spin* ($f(T)$):

$$-\beta f(T) = \ln 2 + \frac{1}{8\pi^2} \int_0^{2\pi} \int_0^{2\pi} dq_1 dq_2 \left[\ln \left| (1 - \sinh(2\beta J))^2 + \sinh(2\beta J)(2 - \cos q_1 - \cos q_2) \right| \right]$$

$$M^2(T) = \mu_B^2 \lim_{m \rightarrow \infty} \langle S_{1,1} S_{1,1+m} \rangle$$

❑ A “*assinatura*” da transição de fase deve ocorrer quando:

$$q_1 = q_2 = 2\pi$$

$$\sinh(2\beta J) = 1$$



$$\frac{J}{k_B T_c} = \frac{1}{2} \ln(1 + \sqrt{2}) = 0.44069$$

$$T_c \approx 2.27 \left[\frac{J}{k_B} \right]$$

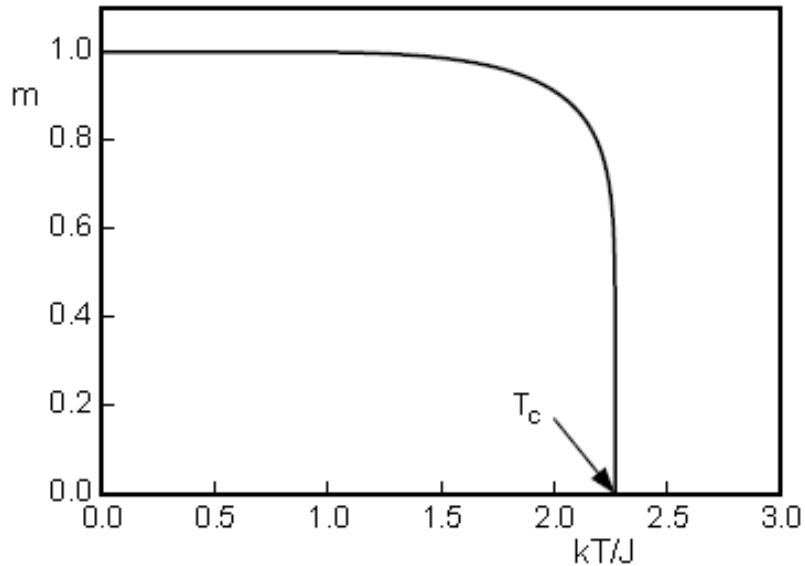
Magnetização espontânea:

$$M(T) \propto (T - T_c)^b$$

Modelo de Ising 2D: $b = \frac{1}{8}$



Modelo de Ising 2D



$$M(T) = \left(1 - \frac{1}{\sinh^4(2\beta J)}\right)^{1/8}$$

- Para o caso de J_1 e J_2 como as interações horizontal e vertical, respectivamente:

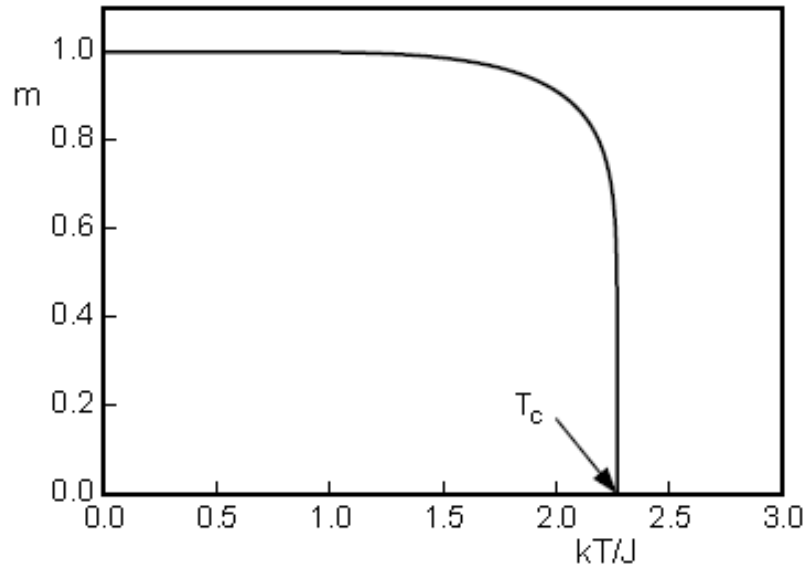
$$M(T) = \left(1 - \frac{1}{\sinh^2(2\beta J_1)\sinh^2(2\beta J_2)}\right)^{1/8}$$

- Podemos nos desfazemos de algumas **aproximações**:

- J_{ij} entre segundos, terceiros, quartos... n -ésimos vizinhos;
- $B_0 \neq 0 \rightarrow$ para este caso, uma solução exata **não** foi encontrada;
- Aumentar a dimensionalidade da rede (para 3D);
- Incluir outras interações;
- Tratar S_i^Z como operadores de *spin*.



Modelo de Ising 2D



$$M(T) = \left(1 - \frac{1}{\sinh^4(2\beta J)}\right)^{1/8}$$

O modelo de Ising bidimensional *apresenta* uma transição de fase à temperatura finita (magnetização espontânea em $T < T_c$)

□ Podemos nos desfazemos de algumas **aproximações**:

- J_{ij} entre segundos, terceiros, quartos... n -ésimos vizinhos;
- $B_0 \neq 0 \rightarrow$ para este caso, uma solução exata **não** foi encontrada;
- Aumentar a dimensionalidade da rede (para 3D);
- Incluir outras interações;
- Tratar S_i^Z como operadores de *spin*.



Expoentes Críticos: Modelos



$T_c? \Rightarrow M$ (espontânea)

Modelo de Ising 1D **NÃO**

Modelo de Ising 3D? Em aberto.

Modelo de Ising 2D **SIM** $\Rightarrow \frac{J}{k_B T_c} = \frac{1}{2} \ln(1 + \sqrt{2}) = 0.44069$

	α	β	γ	δ	ν
Landau theory	0	1/2	1	3	1/2
2d-Ising model	0	1/8	7/4	15	1
3d-Ising model	0.11	0.325	1.24	4.816	0.63
XY-model	-0.008	0.345	1.316	4.81	0.67
3d-Heisenberg model	-0.116	0.365	1.387	4.803	0.705
spherical model	-1	1/2	2	5	1

M. Getzlaff, Fundamentals of Magnetism, Springer, 2007



Modelo de Ising: NP-completo



from *SIAM News*, Volume 33, Number 6

The Ising Model Is NP-Complete

By Barry A. Cipra

*Enormous herds of naked souls I saw,
lamenting till their eyes were burned of tears;
they seemed condemned by an unequal law,*

*for some were stretched supine upon the ground,
some squatted with their arms about themselves,
and others without pause roamed round and round.
—The Inferno, Canto XIV (Ciardi translation)*

In 1925, the German physicist Ernst Ising introduced a simple mathematical model of phase transitions, the abrupt changes of state that occur, for example, when water freezes or a cooling lump of iron becomes magnetic. In the 75 years since, the Ising model has been analyzed, generalized, and computerized—but never, except in special cases, solved. Researchers managed to get exact answers for physically unrealistic, two-dimensional systems, but have never been able to make the leap out of the plane.

There could be a good reason: The Ising model, in its full, nonplanar glory, is NP-complete.

The complexity result was announced in May by Sorin Istrail, a theoretical computer scientist at Sandia National Laboratories (who subsequently joined Celera Genomics in Rockville, Maryland). Extending earlier work of Francisco Barahona of the University of Chile, Istrail showed that essentially all versions of the Ising model are computationally intractable when the setting is three-dimensional.

Moreover, the new results show that the computational barrier lies not so much in the extra dimension as in the nonplanarity of an essential underlying graph—which explains why physicists have been stymied even in certain two-dimensional generalizations of the Ising model. Although it doesn't completely put the kibosh on the search for exact solutions (for one thing, the P-versus-NP question is still famously open), Istrail's work sheds new light on the likely limitations of techniques that, because of their success in the plane, had theorists chasing wild geese into the third dimension.

Ground States

*I turned like one who cannot wait to see
the thing he dreads, and who, in sudden fright,
runs while he looks, his curiosity*



Skymions (1960)



□ Algumas propriedades:

- São **topologicamente estáveis** (“*protected*”);
- Definem um **ordenamento não-trivial** do espaço real (ou no espaço de momentos) – embora seja **trivial** no infinito (estruturas finitas);
- Apresentam **propriedades de partícula** (“*particle-like*”);

□ Em matéria condensada:

- São definidos por uma **carga topológica** S :

$$S = \frac{1}{4\pi} \oint_s \left(\frac{\partial \hat{n}}{\partial x} \times \frac{\partial \hat{n}}{\partial y} \right) \cdot \hat{n} dS \Rightarrow \begin{cases} S = 1 \Rightarrow \text{Skyrmion} \\ S = -1 \Rightarrow \text{Anti-Skyrmion} \\ S = 0 \Rightarrow \text{Estado trivial (FM)} \end{cases}$$

Onde :

\hat{n} é o vetor normalizado de magnetização



https://en.wikipedia.org/wiki/Tony_Skyrme



Skyrmions (1960)



□ Algumas propriedades:

- São **topologicamente estáveis** (“*protected*”);
- Definem um **ordenamento não-trivial** do espaço real (ou no espaço de momentos) – embora seja **trivial** no infinito (estruturas finitas);
- Apresentam **propriedades de partícula** (“*particle-like*”);

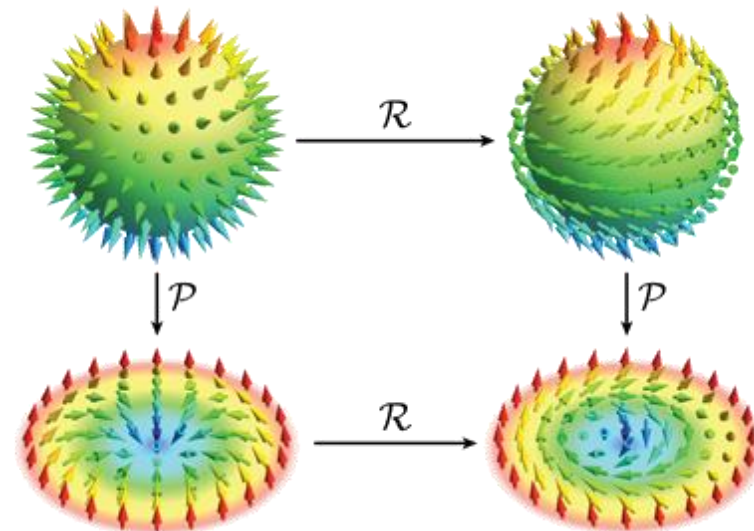
□ Em matéria condensada:

- São definidos por uma **carga topológica** S :

$$S = \frac{1}{4\pi} \oint_s \left(\frac{\partial \hat{n}}{\partial x} \times \frac{\partial \hat{n}}{\partial y} \right) \cdot \hat{n} dS \Rightarrow \begin{cases} S = 1 \Rightarrow \text{Skyrmion} \\ S = -1 \Rightarrow \text{Anti-Skyrmion} \\ S = 0 \Rightarrow \text{Estado trivial (FM)} \end{cases}$$

Onde :

\hat{n} é o vetor normalizado de magnetização





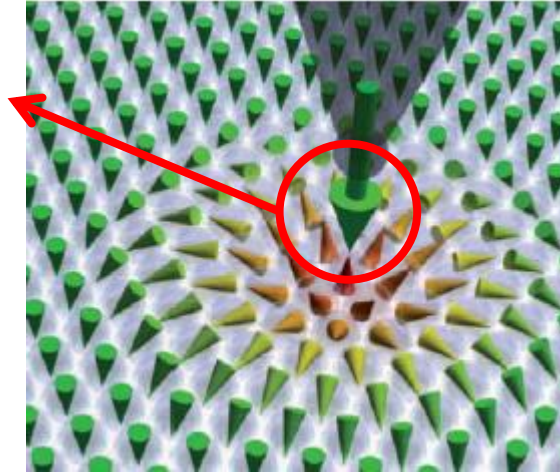
Skyrmions (1960)



□ Algumas propriedades:

- São topologicamente estáveis (“protected”);
- Definem um ordenamento não-trivial do espaço real (ou no espaço de momentos) – embora seja trivial no infinito (estruturas finitas);
- Apresentam propriedades de partícula (“particle-like”);

Ponta SP



^aN. Romming *et al.*, Science 341, 636 (2013)

□ Em matéria condensada:

- São definidos por uma carga topológica S :

$$S = \frac{1}{4\pi} \oint_s \left(\frac{\partial \hat{n}}{\partial x} \times \frac{\partial \hat{n}}{\partial y} \right) \cdot \hat{n} dS \Rightarrow \begin{cases} S = 1 \Rightarrow \text{Skyrmion} \\ S = -1 \Rightarrow \text{Anti-Skyrmion} \\ S = 0 \Rightarrow \text{Estado trivial (FM)} \end{cases}$$

Onde :

\hat{n} é o vetor normalizado de magnetização

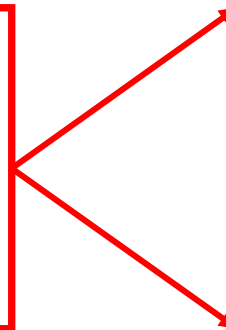
Evidência experimental de criação e aniquilação dessas cargas topológicas com a aplicação de corrente local^a



Conclusão



O Magnetismo Quântico apresenta uma rica variedade de propriedades físicas emergentes e complexas, e é um efeito de muitos corpos.



More Is Different

Broken symmetry and the nature of the hierarchical structure of science.

P. W. Anderson

The Theory of Everything

R. B. Laughlin* and David Pines^{†‡§}

We discuss recent developments in our understanding of matter, broadly construed, and their implications for contemporary research in fundamental physics.



Obrigado!